

ФАЗОВЫЙ ПЕРЕХОД ПЛАВЛЕНИЯ В АДСОРБЦИОННОЙ ПЛЕНКЕ ОКТАДЕКАНОВОЙ КИСЛОТЫ НА ГРАНИЦЕ ТОЛУОЛ – ВОДА

A. M. Тихонов ^{a,b*}

^a Институт физических проблем им. П. Л. Капицы Российской академии наук 119334, Москва, Россия

^b Институт физики твердого тела Российской академии наук 142432, Черноголовка, Московская обл., Россия

Поступила в редакцию 13 июня 2018 г.

Методом рентгеновской рефлектометрии с использованием синхротронного излучения исследована структура растворимой протонированной ($\text{pH}=2$) адсорбционной пленки октадекановой кислоты на межфазных границах предельный углеводород н-гексан – вода и ароматический углеводород толуол – вода. Согласно экспериментальным данным в пленке на границе н-гексан – вода реализуются твердая фаза монослоя Гиббса толщиной $26 \pm 1 \text{ \AA}$, в которой алифатические хвосты упорядочиваются перпендикулярно поверхности, а площадь, приходящаяся на молекулу, составляет $A = 18 \pm 2 \text{ \AA}^2$. На границе толуол – вода с повышением температуры в адсорбционной пленке происходит переход плавления твердого монослоя, вызванный разупорядочением углеводородных хвостов кислоты. При переходе толщина монослоя Гиббса, которая составляет $22 \pm 1 \text{ \AA}$, практически не изменяется. В твердой фазе $A = 20 \pm 2 \text{ \AA}^2$, а угол отклонения молекулярных хвостов от нормали к границе составляет $\approx 30^\circ$. Плотность жидкой фазы монослоя с $A = 24 \pm 2 \text{ \AA}^2$ соответствует жидкому н-октадекану.

1. ВВЕДЕНИЕ

В растворимой адсорбционной пленке амфи菲尔ного вещества на границе неполярный органический растворитель (масло) – вода наблюдаются термотропные фазовые переходы между поверхностными мезофазами, которые могут быть как очень затянутыми по температуре так и резкими изменениями состояния поверхности. Работы по изучению подобных поверхностных явлений можно условно разделить на два типа. В первом – изучается структура внутренних интерфейсов в объеме материала, возникающих благодаря микроскопическому разделению фаз с образованием растворов мицелл, липосом или микроэмulsionий [1]. Второй тип исследований посвящен границам раздела между макроскопически большими объемами масляной и водной фаз [2–6]. Впервые возможность применения рентгеновской рефлектометрии с использованием синхротронного излучения для определения молекулярного упорядочения на макроскопически плоской межфазной границе предельный углеводород н-гексан – вода была продемонстрирована в ра-

ботах [7, 8]. Позднее, используя эту методику, нами были изучены разнообразные термотропные фазовые переходы на этой границе в адсорбционных слоях жирных спиртов и кислот [9–12]. В этой работе впервые методом рентгеновской рефлектометрии исследован фазовый переход плавления в растворимой адсорбционной пленке октадекановой кислоты на границе ароматический углеводород толуол – вода (см. рис. 1). Такая граница рассматривается в качестве модельной, например, при изучении адсорбции высокомолекулярных компонентов нефти (асфальтенов), не растворяющихся в предельных углеводородах [13].

2. ЭКСПЕРИМЕНТ

Все химические компоненты для эксперимента приобретались у Sigma-Aldrich. Предельный углеводород н-гексан (C_6H_{14} , плотностью при 298 K $\approx 0.65 \text{ г}/\text{cm}^3$, температура кипения $T_b \approx 342 \text{ K}$) и ароматический углеводород толуол (C_7H_8 , плотность $\approx 0.87 \text{ г}/\text{cm}^3$ при 298 K, температура кипения $T_b \approx 384 \text{ K}$) предварительно подвергались очистке путем многократной фильтрации в хрома-

* E-mail: tikhonov@kapitza.ras.ru

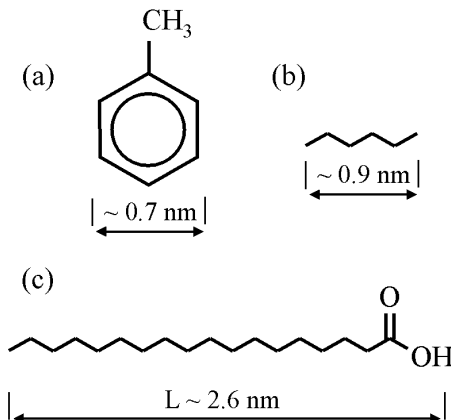


Рисунок 1. (а) Молекулярная структура толуола C_7H_8 ; (б) молекулярная структура н-гексана C_6H_{14} ; (с) молекулярная структура октадекановой кислоты $C_{18}H_{36}O_2$

тографической колонке [14]. Октадекановая кислота $C_{17}H_{35}COOH$ (стеариновая кислота или кислота- C_{18}) – одноосновная карбоновая кислота алифатического ряда не растворяется в воде и хорошо растворяется в толуоле и н-гексане. Она очищалась путем перекристаллизации при комнатной температуре из перенасыщенного раствора в н-гексане [12,15].

Образцы плоской межфазной границы толуол – вода (н-гексан – вода), которая ориентируется силой гравитации, изучались в термостатированной ячейке из нержавеющей стали по методике, описанной в [16]. Поверхностное напряжение межфазной границы $\gamma(T)$ на рис. 2 измерялось методом Вильгельми [17]. В качестве нижней объемной фазы использовался раствор серной кислоты ($pH = 2$) в деионизированной воде (Barnstead, NanoPureUV) объемом ~ 100 мл. Верхней объемной фазой служили ~ 50 мл раствора октадекановой кислоты в толуоле (н-гексане) с объемной концентрацией $c \approx 46$ ммоль/кг ($\approx 4.2 \cdot 10^{-3}$). Перед использованием в ячейке эти жидкости подвергались дегазации в ультразвуковой ванне. При измерениях коэффициента отражения R образец сперва подвергался "отжигу": температура жидкостей в ячейке доводилась до ~ 330 К. Затем она понижалась до выбранной и далее образец приводился в равновесие в течении нескольких часов при аккуратном механическом перемешивании нижней фазы [18,19].

Молекулы кислоты $C_{18}H_{36}O_2$ из раствора в углеводородном растворителе адсорбируются на межфазную границу толуол – вода, что значительно понижает ее энергию. Согласно данным, приведенным на рис. 2, с повышением температуры T (при давлении $p = 1$ атм) в монослое на гра-

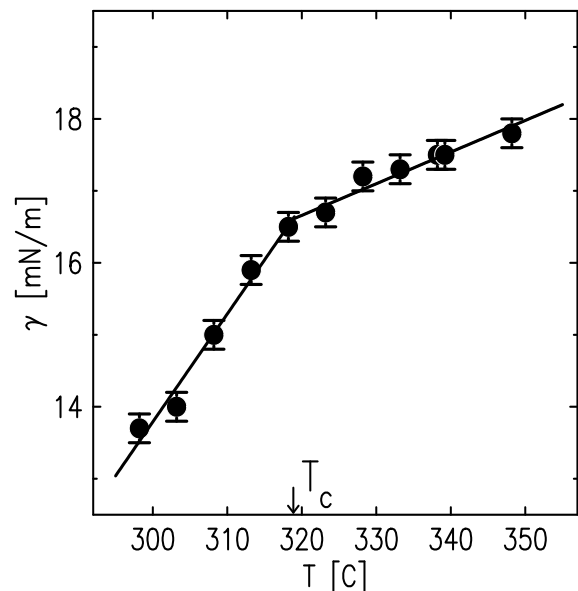


Рисунок 2. Температурная зависимость межфазного напряжения границы толуол – вода при концентрации октадекановой кислоты в углеводородном растворителе $c \approx 46$ ммоль/кг. Линии проведены на глаз. Точка излома соответствует $T_c \approx 319$ К.

нице происходит фазовый переход. Его температура $T_c \approx 319$ К определяется концентрацией c кислоты- C_{18} в объеме растворителя, служащего для молекул поверхностно-активного вещества резервуаром. Изменение в наклоне $\gamma(T)$ связано с относительно небольшим изменением поверхностной энталпии при переходе $\Delta H = -T_c \Delta(\partial\gamma/\partial T)_{p,c} = 0.03 \pm 0.01$ Дж/м². Отметим, что у адсорбционной пленки октадекановой кислоты на границе н-гексан – вода особенностей в поведении поверхностного напряжения при $p = 1$ атм не наблюдалось в широком диапазоне концентраций ($10 \div 100$ ммоль/кг) и температур ($290 \div 330$ К).

Поперечное строение межфазной границы толуол – вода (н-гексан – вода) было исследовано методом рентгеновской рефлексометрии на станции X19C синхротрона NSLS [20]. В экспериментах использовался сфокусированный монохроматический луч с интенсивностью $\approx 10^{11}$ ф/с и энергией фотонов ($\lambda = 0.825 \pm 0.002$ Å). Конструкция спектрометра станции X19C позволяет изучать как поверхности твердых тел, так и жидкостей и границ жидкость – жидкость [21–26].

Рис. 3 иллюстрирует кинематику поверхностно-го рассеяния на межфазной границе. В эксперименте рефлексометрии $\alpha = \beta$, где α – угол скольжения, а β – угол в плоскости падения yz между плос-

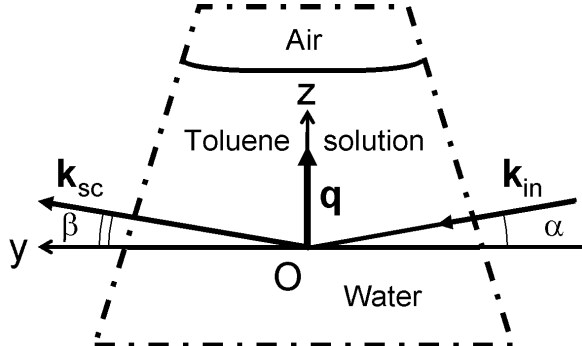


Рисунок 3. Кинематика рентгеновского поверхностного рассеяния на межфазной границе толуол – вода. В эксперименте рефлектометрии $\alpha = \beta$

костью поверхности и направлением на точечный детектор. При этом рентгеновские лучи проходят сквозь масляную фазу и зеркально отражаются от структуры, образованной на границе поверхностноактивным веществом. Если \mathbf{k}_{in} , \mathbf{k}_{sc} – волновые вектора падающего и рассеянного луча в направлении детектора, соответственно, то вектор рассеяния $\mathbf{q} = \mathbf{k}_{in} - \mathbf{k}_{sc}$ в этом эксперименте направлен строго по нормали к поверхности вдоль оси Oz противоположно силе гравитации. При измерении коэффициента отражения R как функции $q_z = (4\pi/\lambda) \sin \alpha$, происходит усреднение его значений по большой площади засветки поверхности ($\sim 0.5 \text{ см}^2$) из-за высоты падающего луча ($> 5 \text{ мкм}$) в плоскости yz и ширины $\sim 2 \text{ мм}$ в плоскости межфазной границы.

При углах скольжения меньше $\alpha_c \approx \lambda \sqrt{r_e \Delta \rho / \pi}$ (где $r_e = 2.814 \cdot 10^{-5} \text{ \AA}$ – классический радиус электрона, $\Delta \rho$ – разница в объемной электронной концентрации жидкостей) падающий луч испытывает полное внешнее отражение $R \approx 1$. При нормальных условиях электронная концентрация в воде $\rho_w \approx 0.333 e^-/\text{\AA}^3$ (e^- – заряд электрона), в н-гексане $\rho_h \approx 0.69 \rho_w$, а в толуоле $\rho_t \approx 0.86 \rho_w$. Таким образом, для границы н-гексан – вода $\alpha_c \approx 10^{-3} \text{ рад}$ ($\approx 0.06 \text{ град}$), а для системы толуол – вода $\alpha_c \approx 6 \cdot 10^{-4} \text{ рад}$ ($\approx 0.03 \text{ град}$), то есть заметно меньше.

На рис. 4 представлены экспериментальные зависимости коэффициента отражения R от q_z , нормированного на функцию Френеля

$$R_F(q_z) = \left(\frac{q_z - \sqrt{q_z^2 - q_c^2}}{q_z + \sqrt{q_z^2 - q_c^2}} \right)^2. \quad (1)$$

где $q_c = (4\pi/\lambda) \sin \alpha_c$. Треугольники соответствуют значениям $R(q_z)/R_F(q_z)$ для границы н-гексан – вода при $T = 295 \text{ K}$, а кружки и квадраты – гра-

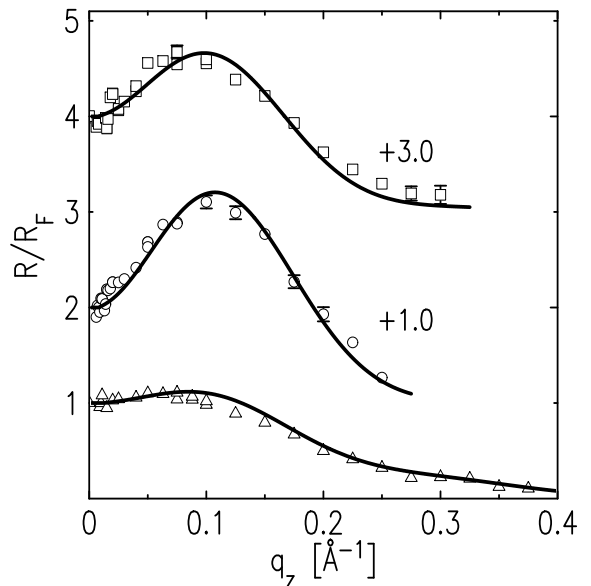


Рис. 4. Нормированный коэффициент отражения R/R_F как функция q_z для межфазных границ с адсорбционной пленкой октадекановой кислоты: треугольники соответствуют границе н-гексан – вода при $T = 295 \text{ K}$, а кружки и квадраты – границе толуол – вода при температуре $T = 308 \text{ K}$ и $T = 328 \text{ K}$, соответственно (ниже и выше T_c). Сплошными линиями показан расчет с использованием качественной модели (2). Числа у кривых указывают их смещение вдоль оси ординат для лучшей наглядности представления результатов

нице толуол – вода при температуре $T = 308 \text{ K}$ и $T = 328 \text{ K}$, соответственно (ниже и выше T_c).

3. ТЕОРИЯ

По экспериментальным данным $R(q_z)$ нами восстановлено распределение электронной концентрации $\rho(z)$ вдоль нормали к поверхности. При этом использовалась качественная однослоистая модель (см. рис. 5) на основе функции ошибок [27–29]

$$\begin{aligned} \rho(z) = & \frac{1}{2}(\rho_0 + \rho_2) + \frac{1}{2}(\rho_1 - \rho_0) \operatorname{erf}\left(\frac{z}{\sigma\sqrt{2}}\right) \\ & + \frac{1}{2}(\rho_2 - \rho_1) \operatorname{erf}\left(\frac{z + z_1}{\sigma\sqrt{2}}\right), \end{aligned} \quad (2)$$

$$\operatorname{erf}(x) = \frac{2}{\sqrt{\pi}} \int_0^x \exp(-y^2) dy,$$

где ρ_0 и ρ_2 – концентрации электронов в воде и толуоле (н-гексане), соответственно, а ρ_1 – электронная концентрация в монослое Гиббса. $z_0 = 0$, а z_1 –

толщина монослоя. σ – среднеквадратичное отклонение положения границ от их номинальных значений z_0 и z_1 , которое при расчетах фиксировалось равным значению "калиллярной ширины". Последняя определяется диапазоном поверхностных пространственных частот перекрываемом в эксперименте [30–33]

$$\sigma^2 \approx \frac{k_B T}{2\pi\gamma} \ln \left(\frac{Q_{max}}{Q_{min}} \right), \quad (3)$$

где $Q_{max} = 2\pi/a$ – коротковолновый предел спектра ($a \approx 10 \text{ \AA}$ – по порядку величины межмолекулярное расстояние), а $Q_{min} = q_z^{max} \Delta\beta/2$ – длинноволновый предел. $\Delta\beta \approx 4 \cdot 10^{-4}$ рад – угловое разрешение детектора в эксперименте, а $q_z^{max} \approx 0.25 \text{ \AA}^{-1}$. В условиях данного эксперимента для границы н-гексан – вода, оценка (3) дает $\sigma = 4.0 \pm 0.2 \text{ \AA}$ ($\gamma \approx 35 \text{ мН/м}$), а для границы толуол – вода $\sigma = 5.6 \pm 0.2 \text{ \AA}$ и $\sigma = 6.1 \pm 0.2 \text{ \AA}$ при $T = 308 \text{ K}$ и $T = 328 \text{ K}$, соответственно.

Профилью (2) соответствует коэффициент отражения [34, 35]:

$$\frac{R(q_z)}{R_F(q_z)} \approx \left| \frac{1}{\Delta\rho} \sum_{j=0}^1 (\rho_{j+1} - \rho_j) e^{-iq_z z_j} \right|^2 e^{-\sigma^2 q_z \sqrt{q_z^2 - q_c^2}}. \quad (4)$$

4. ЭКСПЕРИМЕНТАЛЬНЫЕ РЕЗУЛЬТАТЫ И ОБСУЖДЕНИЕ

Непрерывные линии на рис. 4 демонстрируют, что экспериментальные зависимости R/R_F достаточно хорошо описываются выражением (4), в котором два подгоночных параметра, а именно, толщина монослоя z_1 и концентрация электронов в нем ρ_1 . Профиль электронной концентрации адсорбированного слоя $\delta\rho(z)$ получается из выражения (1) вычитанием вклада объемных фаз в $\rho(z)$.

$$\begin{aligned} \delta\rho(z) &= \rho(z) - \frac{1}{2}\rho_0 \left[1 - \operatorname{erf} \left(\frac{z}{\sigma\sqrt{2}} \right) \right] \\ &\quad - \frac{1}{2}\rho_2 \left[1 + \operatorname{erf} \left(\frac{z+z_1}{\sigma\sqrt{2}} \right) \right]. \end{aligned} \quad (5)$$

Профиля $\delta\rho(z)$, нормированные на ρ_w , показаны на рис. 6.

Термодинамические свойства растворимой адсорбционной пленки, которую в первом приближении можно считать монослоем (монослоем Гиббса), описываются параметрами (p, T, c) [2, 36–38]. В

плоскости межфазной границы она может быть как изотропной, так и анизотропной, несмотря на изотропию объемных фаз [39]. В этой системе также существует формальный запрет на фазовые переходы первого рода, так как в некоторой окрестности T_c адсорбированным молекулам термодинамически выгодно формировать равновесную пространственно неоднородную структуру, в которой сосуществуют домены двух однородных фаз [40]. Обе фазы стремятся к перемешиванию, так как образование одномерных межфазных границ приводит к значительному понижению энергии [41]. Из наблюдений лиотропных и термотропных фазовых переходов между объемными мезофазами в водных растворах жирных кислот, одним из параметров определяющих термодинамическое состояние системы является уровень pH раствора, влияющий на степень ионизации полярной группы $-\text{COOH}$ [36]. Поскольку по данным ЯМР на протонах ^1H при уровне pH=2 гидроксильные группы в монослое не ионизованы, то его условно называют "протонированным" [42].

Согласно проведенной подгонке экспериментальных данных с помощью (4) электронная концентрация в монослое Гиббса на границе н-гексан – вода составляет $\rho_1 = 0.34 \pm 0.01 \text{ e}^-/\text{\AA}^3$, а его толщина $z_1 = 26 \pm 1 \text{ \AA}$. Эти значения соответствуют площади на молекулу $A = \Gamma/(z_1\rho_1) = 18 \pm 2 \text{ \AA}^2$, где $\Gamma = 160$ – число электронов в молекуле $\text{C}_{18}\text{H}_{36}\text{O}_2$. Расчетная полная длина молекулы октадекановой кислоты $L \approx 25.6 \text{ \AA}$ ($= 17 \times 1.27 \text{ \AA}(\text{C-C}) + 1.5 \text{ \AA}(-\text{CH}_3) + 2.5 \text{ \AA}(-\text{COOH})$). Таким образом, на границе н-гексан – вода реализуется твердая фаза монослоя кислоты C_{18} с полностью упорядоченными и вытянутыми вдоль нормали к поверхности алифатическими хвостами $-\text{C}_{17}\text{H}_{35}$.

Электронная концентрация в монослое Гиббса на границе толуол – вода при $T = 308 \text{ K}$ составляет $\rho_1 = 0.35 \pm 0.01 \text{ e}^-/\text{\AA}^3$, а $z_1 = 22 \pm 1 \text{ \AA}$. При этих значениях $A = \Gamma/(z_1\rho_1) = 20 \pm 2 \text{ \AA}^2$, которая также соответствует твердой фазе монослоя, но со склоненными алифатическими хвостами (угол их отклонения от нормали $\theta = \arccos(z_1/L) \approx 30^\circ$). Наконец, при $T = 328 \text{ K}$ концентрация $\rho_1 = 0.26 \pm 0.01 \text{ e}^-/\text{\AA}^3$, толщина $z_1 = 22 \pm 1 \text{ \AA}$ и площадь $A = 24 \pm 2 \text{ \AA}^2$. Этую фазу можно условно назвать жидкой, так ее плотность соответствует жидкому н-октадекану ($\text{C}_{18}\text{H}_{38}$) [36].

Величины параметров A и $\theta = 0$ растворимого монослоя Гиббса октадекановой кислоты на границе н-гексан – вода близки к характеристикам несклоненных твердых фаз нерастворимого монослоя Ленгмюра этой кислоты на поверхности во-

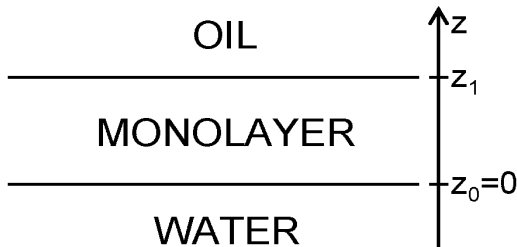


Рис. 5. Модель межфазной границы

ды [43, 44]. Это может быть либо гексагональной фаза LS , либо искаженная гексагональная фаза S [45]. Параметры гиббсовского монослоя на границе с толуолом соответствуют характеристикам скошенных гексатических твердых фаз L_{2d} и Ov ленгмюровского монослоя кислоты- C_{18} [46]. Кроме того, можно также полагать, что структура фаз растворимых монослоев имеет сходство с молекулярной упаковкой в объемных ротационно-кристаллических фазах R_I и R_{II} высокомолекулярного предельного углеводорода вблизи его температуры плавления [47–49].

Таким образом, молекулы октадекановой кислоты образует упорядоченный твердый монослой как на границе н-гексан – вода, так и на границе толуол – вода. Микроскопический механизм формирования твердого монослоя, по-видимому, основан на формировании двумерной сетки водородных связей между карбонильными $C=O$ и гидроксильными группами $-OH$ соседних молекул, который обсуждался ранее в [50]. Представленная совокупность данных иллюстрирует также фазовый переход твердое тело – жидкость в гиббсовском монослое на границе толуол – вода, сопровождающийся разупорядочением углеводородных хвостов $-C_{17}H_{35}$. С повышением температуры в некоторой окрестности T_c часть адсорбированных молекул кислоты- C_{18} покидает межфазную границу и растворяется в объеме толуола, при этом A увеличивается на $10 \div 20\%$, но при этом наблюданное изменение толщины монослоя z_1 незначительно.

Использование толуола в качестве верхней фазы для структурных исследований имеет преимущества и недостатки. С одной стороны, поскольку разница в объемной концентрации электронов на границе толуол – вода ($\Delta\rho_1 = \rho_w - \rho_t \approx 0.05 e^-/\text{\AA}^3$) заметно меньше, чем на границе гексан – вода ($\Delta\rho_2 = \rho_w - \rho_h \approx 0.10 e^-/\text{\AA}^3$), то амплитуда осцилляций структурного фактора для первой границы выше по сравнению со второй в ($\Delta\rho_2/\Delta\rho_1)^2 \approx 4$ раза, так как согласно (4) $R/R_F \propto \Delta\rho^{-2}$. Это объясняет большую величину осцилляции R/R_F на рис. 3 для границы толуол – вода по сравнению с границей

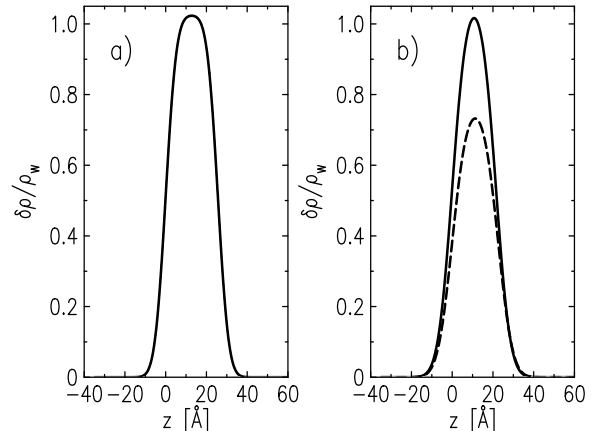


Рис. 6. Модельные профили электронной концентрации для монослоя октадекановой кислоты $\delta\rho(z)$, нормированные на электронную концентрацию в воде при нормальных условиях $\rho_w = 0.333 e^-/\text{\AA}^3$. а) граница н-гексан – вода; б) граница толуол – вода: сплошная линия – модель твердой фазы монослоя при $T \approx 308$ К; штриховая линия – модель жидкой фазы монослоя при $T \approx 328$ К

н-гексан – вода.

С другой стороны, межфазное натяжение границ толуол – вода в два-три раза ниже, чем у границы н-гексан – вода, следовательно интенсивность незеркального (диффузного) рассеяния на шероховатостях капиллярно-волновой природы на первой межфазной границе существенно выше чем у второй. Это и меньшая величина глубины проникновения фотонов с $E \approx 15$ кэВ в толуол, чем у н-гексана (18 см и 24 см, соответственно) существенно уменьшают (на $\sim 30\%$) доступный для измерений диапазон углов скольжения, определяющий величину q_z^{max} в (3).

Ранее сообщалось, что в адсорбционных слоях высокомолекулярных жирных спиртов, например, на границе раздела н-гексан – вода наблюдаются термотропные фазовые переходы имеющие, как правило, десорбционную природу [5, 15]. Это переходы твердое тело – газовый монослой и жидкость – газовый монослой, при которых с повышением температуры практически все адсорбированные молекулы липидов покидают интерфейс, растворяясь в объеме масла [10, 51, 52]. При этом также отмечалось присутствие мультислоев в адсорбционных пленках нормальных алканолов на нейтральных границах н-гексан – вода и н-гексадекан – вода, когда длина углеводородной цепи поверхности-активного вещества превышает длину цепи молекулы растворителя примерно на шесть атомов углерода ($\sim 7 \text{\AA}$) [18, 53]. Позднее сообщалось о наблюдении термотропных двумерных переходов твердое тело – жидкость в

пленках на межфазной границе предельный углеводород – вода [12, 54–56]. Часто эти переходы, описываются двумя критическими температурами. К примеру, в случае протонированных ($\text{pH}=2$) монослоев триаконтановой кислоты по данным рассеяния на границе н-гексан – вода установлено, что с повышением температуры T двумерному переходу кристаллизации границы в T_c предшествует в $T^* > T_c$ переход к многослойной адсорбции [19].

Отметим также, что в описанных монослоях на границе толуол – вода никак не проявляется ее собственная ширина $\sigma_0 \approx 4 \text{ \AA}$ некапиллярноволновой природы [57]. Как и в случае нейтральных монослоев алканолов на границе н-гексадекан – вода, у которой σ_0 того же порядка величины, мы связываем это с относительно низким контрастом в структуре межфазной границы [18].

На основании вышеизложенного, совместное применение методов рефлектометрии и диффузного рассеяния к исследуемой системе в окрестности T_c может дать дополнительную полезную информацию как о возможности перехода к многослойной адсорбции октадекановой кислоты на границе толуол – вода, так и об интегральной характеристике σ_0 спектра ее шероховатости.

В заключении, явления на межфазных границах в водонефтяных эмульсиях, протекающие в присутствии примесных поверхностно-активных веществ, влияют на эффективность нефтетехнологических процессов [58–60]. Данное исследование интерфейса между ароматическим углеводородом и водой, а также наши предыдущие сообщения о фазовых переходах на границах предельный углеводород – вода, демонстрируют принципиально новые экспериментальные возможности для выяснения сущности процессов, происходящих в нефтяных дисперсных системах, методами рентгеновской рефлектометрии и диффузного рассеяния с использованием синхротронного излучения.

Синхротрон NSLS использовался при поддержке Департамента энергетики США по контракту # DE-AC02-98CH10886. Станция X19C финансировалась из фондов ChemMatCARS, Университета Чикаго, Университета Иллинойса в Чикаго и Университета Стоуни Брук. Теоретическая часть работы (разделы 3 и 4) выполнена за счет гранта Российского научного фонда (проект № 18-12-00108).

ЛИТЕРАТУРА

1. W. M. Gelbart, A. Ben-Shaul, D. Roux, *Micelles, Membranes, Microemulsions, and Monolayers*, Springer-Verlag, New York, 1994.
2. M. Lin, J. L. Ferpo, P. Mansaura, J. F. Baret, *J. Chem. Phys.* 71, 2202 (1979).
3. Y. Hayami, A. Uemura, M. Ikeda, M. Aratono, K. Motomura, *J. Colloid Interface Sci.* 172, 142 (1995).
4. J. C. Conboy, M. C. Messmer, G. L. Richmond, *J. Phys. Chem.* 100, 7617 (1996).
5. T. Takiue, T. Matsuo, N. Ikeda, K. Motomura, M. Aratono, *J. Phys. Chem. B* 102, 4906 (1998).
6. S. Uredat and G. Findenegg, *Langmuir* 15, 1108 (1999).
7. D. M. Mitrinovic, Z. Zhang, S. M. Williams, Z. Huang, M. L. Schlossman, *J. Phys. Chem. B* 103, 1779 (1999).
8. Z. Zhang, D. M. Mitrinovic, S. M. Williams, Z. Huang, M. L. Schlossman, *J. Chem. Phys.* 110, 7421 (1999).
9. M. L. Schlossman, M. Li, D. M. Mitrinovic, A. M. Tikhonov, *High Performance Polymers* 12, 551 (2000).
10. S. V. Pingali, T. Takiue, G. Guangming, A. M. Tikhonov, N. Ikeda, M. Aratono, M. L. Schlossman, *Journal of Dispersion Science and Technology* 27, 715 (2006).
11. M. L. Schlossman, A. M. Tikhonov, *Ann. Rev. Phys. Chem.* 59, 153 (2008).
12. А. М. Тихонов, Письма в ЖЭТФ 102, 620 (2015).
13. S. Zarkar, V. Pauchard, U. Farooq, A. Couzis, S. Banerjee, *Langmuir*, 31, 4878 (2015).
14. A. Goebel, K. Lunkheimer, *Langmuir* 13, 369 (1997).
15. T. Takiue, A. Yanata, N. Ikeda, K. Motomura, M. Aratono, *J. Phys. Chem.* 100, 13743, (1996).
16. A. M. Tikhonov, D. M. Mitrinovic, M. Li, Z. Huang, M. L. Schlossman, *J. Phys. Chem. B* 104, 6336 (2000).
17. A. W. Adamson, *Physical Chemistry of Surfaces*, 3rd ed. John Wiley & Sons: New York, 1976.
18. A. M. Tikhonov, M. L. Schlossman, *J. Phys.: Condens. Matter* 19, 375101 (2007).
19. А. М. Тихонов, Письма в ЖЭТФ 104, 318 (2016).

- 20.** M. L. Schlossman, D. Synal, Y. Guan, M. Meron, G. Shea-McCarthy, Z. Huang, A. Acero, S. M. Williams, S. A. Rice, P. J. Viccaro, Rev. Sci. Instrum. 68, 4372 (1997).
- 21.** L. Hanley, Y. Choi, E. R. Fuoco, F. A. Akin, M. B. J. Wijesundara, M. Li, A. M. Tikhonov, M. L. Schlossman, Nucl. Instrum. Methods Phys. Res. B 203, 116 (2003).
- 22.** A. M. Tikhonov, J. Phys. Chem. B 110, 2746 (2006).
- 23.** A. M. Tikhonov, J. Chem. Phys. 124, 164704 (2006).
- 24.** J. Koo, S. Park, S. Satija, A. M. Tikhonov, J. C. Sokolov, M. H. Rafailovich, T. Koga, Journal of Colloid and Interface Science 318, 103 (2008).
- 25.** A. M. Tikhonov, J. Chem. Phys. 130, 024512 (2009).
- 26.** F. A. Akin, I. Jang, M. L. Schlossman, S. B. Sinnott, G. Zajac, E. R. Fuoco, M. B. J. Wijesundara, M. Li, A. M. Tikhonov, S. V. Pingali, A. T. Wroble, L. Hanley J. Phys. Chem. B 108, 9656 (2004).
- 27.** F. P. Buff, R. A. Lovett, F. H. Stillinger, Phys. Rev. Lett. 15, 621 (1965).
- 28.** E. S. Wu and W. W. Webb, Phys. Rev. A 8, 2065 (1973).
- 29.** J. D. Weeks, J. Chem. Phys. 67, 3106 (1977).
- 30.** A. Braslau, M. Deutsch, P. S. Pershan, A. H. Weiss, J. Als-Nielsen, J. Bohr, Phys. Rev. Lett. 54, 114 (1985).
- 31.** A. Braslau, P. S. Pershan, G. Swislow, B. M. Ocko, and J. Als-Nielsen, Phys. Rev. A 38, 2457 (1988).
- 32.** D. K. Schwartz, M. L. Schlossman, E. H. Kawamoto, G. J. Kellogg, P. S. Pershan, B. M. Ocko, Phys. Rev. A, 41, 5687 (1990).
- 33.** J. Daillant, L. Bosio, B. Harzallah, and J. J. Benattar, J. Phys. II 1, 149 (1991).
- 34.** L. Nevot, P. Croce, Rev. Phys. Appl. 15, 761 (1980).
- 35.** S. K. Sinha, E. B. Sirota, S. Garoff, and H. B. Stanley, Phys. Rev. B 38, 2297 (1988).
- 36.** D. M. Small, *The Physical Chemistry of Lipids*, Plenum Press, New York, 1986.
- 37.** K. Motomura, N. Matubayasi, M. Aratono, R. Matuura, J. Colloid Interface Sci. 64, 356 (1978).
- 38.** M. Aratono, T. Takiue, N. Ikeda, A. Nakamura, K. Motomura, J. Phys. Chem. 97, 5141 (1993).
- 39.** Л. Д. Ландау, Е. М. Лифшиц, *Курс теоретической физики т. V, Статистическая физика Ч. 1*, М.: Наука, Физматлит 1995.
- 40.** В. И. Марченко, ЖЭТФ 81, 1142 (1981).
- 41.** В. И. Марченко, Письма в ЖЭТФ 33, 397 (1981).
- 42.** D. P. Cistola, D. M. Small, J. A. Hamilton, J. Lipid Res. 23, 795 (1982).
- 43.** A. Pockels, Nature 43, 437 (1891).
- 44.** I. Langmuir, J. Am. Chem. Soc. 39, 354 (1917).
- 45.** I. R. Peterson, G. Brezesinski, B. Struth, E. Scalas, J. Phys. Chem. B 102, 9437 (1998).
- 46.** D. R. Nelson, B. I. Halperin, Phys. Rev. B 19, 2457 (1979).
- 47.** A. Müller, Proc. Roy. Soc. Ser. A 138, 514 (1932).
- 48.** E. B. Sirota, Langmuir 13, 3849 (1997).
- 49.** Е. Н. Котельникова, С. К. Филатов, *Кристаллохимия парафинов*, ISBN: 5-87516-238-4, СПб.: Журн. «Нева», 2002.
- 50.** A. M. Tikhonov, H. Patel, S. Garde, and M. L. Schlossman, J. Phys. Chem. B 110, 19093 (2006).
- 51.** M. Li, A. M. Tikhonov, M. L. Schlossman, J. Europhys. Lett. 58, 80 (2002).
- 52.** A. M. Tikhonov, S. V. Pingali, M. L. Schlossman, J. Chem. Phys. 120, 11822 (2004).
- 53.** T. Takiue, T. Tottori, K. Tatsuta, H. Matsubara, H. Tanida, K. Nitta, T. Uruga, M. Aratono, J. Phys. Chem. B 116, 13739 (2012).
- 54.** Q. Lei, C. D. Bain, Phys. Rev. Lett. 92, 176103 (2004).
- 55.** L. Tamam, D. Pontoni, Z. Sapir, Sh. Yefet, E. Sloutskin, B. M. Ocko, H. Reichert, M. Deutsch, PNAS 108, 5522 (2011).
- 56.** Yu. Tokiwa, H. Sakamoto, T. Takiue, M. Aratono, H. Matsubara, J. Phys. Chem. B 119, 6235 (2015).
- 57.** А. М. Тихонов, Письма в ЖЭТФ, на рецензии (2018).
- 58.** Р. З. Сафиева, *Физикохимия нефти: Физико-химические основы технологии переработки нефти*, ISBN 5-7245-1106-1, М.: Химия, 1998.
- 59.** K. Akbarzadeh, A. Hammami, A. Kharrat, D. Zhan, S. Allenson, J. Creek, S. Kabir, A. J. Jamaluddin, A. G. Marshall, R. P. Rodgers, O. C. Mullins, T. Solbakken, Oilfield Review 19(2), 22 (2007).
- 60.** O. C. Mullins, Annu. Rev. Anal. Chem. 4, 393 (2011).